

УДК 677.051.

МАТЕМАТИЧЕСКИЕ МОДЕЛИ ДЛЯ ПРОГНОЗИРОВАНИЯ ГОРСТЕВОЙ ДЛИНЫ ВОЛОКНА В ПРОЦЕССЕ ТРЕПАНИЯ

P.В. КОРАБЕЛЬНИКОВ, Э.В. НОВИКОВ

(Костромской государственный технологический университет)

Качество длинного трепаного волокна во многом зависит от его горстевой длины. Для анализа изменения длины в процессе обработки необходимо иметь математические модели, связывающие начальную горстевую длину волокна (сырца) и интенсивность ее изменения. Такие модели позволяют определять оптимальные режимы обработки, прогнозировать конечную длину волокна и эффективность работы трепальных машин.

Вследствие того, что модели, связывающие конечное значение горстевой длины волокна с начальным ее значением и интенсивностью изменения длины в процессе обработки отсутствуют, цель настоящей работы заключается в нахождении таких моделей.

Экспериментальные данные свидетельствуют, что изменение горстевой длины в процессе очистки волокна (обработка в мяльно-трепальном агрегате) можно представить следующей зависимостью:

$$L_i = L_{0i} e^{-\frac{Z_i}{L_{0i}} t_i}, \quad (1)$$

где L_i – текущее значение горстевой длины волокна, см; L_{0i} – начальное значение горстевой длины, см; Z_i – интенсивность изменения горстевой длины в процессе обработки (под воздействием рабочих органов), см/с; t_i – текущее время обработки волокна, с.

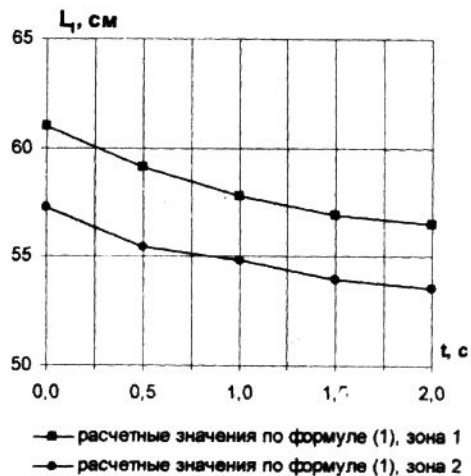


Рис. 1

На рис.1 показана зависимость изменения длины волокна в процессе трепания отдельно в зонах 1 и 2 при $n=300 \text{ мин}^{-1}$, $V=20 \text{ м/мин}$.

Для процесса трепания, имеющего несколько зон обработки с различными значениями интенсивности изменения длины (например, обработка в трепальной машине агрегата АЛС-1), целесообразно находить одну зависимость в виде степенной функции [1]. Для этого, используя результаты работ [2] и [3] и приняв начальные условия при $t_i=0$, $L_i=L_{0i}$, после дифференцирования с постоянной $C=L_{0i}$ получим зависимость конечной длины волокна от

начального значения и интенсивности ее изменения при трепании:

$$L_i = L_{0i} + A_i (Z_i)^{m_i} t_i, \quad (2)$$

где A_i и m_i – эмпирические коэффициенты, учитывающие свойства обрабатываемого материала и особенности обработки.

По данным проведенного ранее эксперимента (табл.1, где V – скорость транспортирования волокна; n – частота вращения трепальных барабанов; t_i – текущее время обработки; K_i – текущее количество воздействий на волокно) при плотности загрузки сырца в трепальную машину 0,4 кг/м для модели (2) получены эмпирические коэффициенты (табл.2).

Таблица 1

№ п/п	Эксперимен- тальные значения		Изменение $\Delta L=L_{0i}-L_i, \text{ см}$	Параметры процесса трепания				Результаты расчета
	$L_{0i}, \text{ см}$	$L_i, \text{ см}$		$V, \text{ м/мин}$	$t_i, \text{ с}$	K_i	$n, \text{ мин}^{-1}$	
Зона 1 (одностороннее трепание)								
1	63,9	58,8	5,1	12	3,3	198	300	1,6
2		62,2	1,7	20	2,0	119		0,9
3		63,7	0,2	36	1,1	66		0,2
4		58,5	5,4	12	3,3	231	350	1,7
5		61,3	2,6	20	2,0	138		1,3
6		59,3	4,6	36	1,1	77		4,3
7		56,0	7,9	12	3,3	264	400	2,6
8		57,2	6,7	20	2,0	158		3,5
9		59,2	4,7	36	1,1	88		4,4
Зона 2 (двустороннее трепание)								
1	58,8	53,6	5,2	12	3,3	396	300	1,6
2	62,2	58,8	3,4	20	2,0	238		1,7
3	63,7	57,6	6,1	36	1,1	132		5,8
4	58,5	50,1	8,4	12	3,3	462	350	2,7
5	61,3	55,5	5,8	20	2,0	276		3,0
6	59,3	54,9	4,4	36	1,1	154		4,1
7	56,0	49,6	6,4	12	3,3	528	400	2,1
8	57,2	54,2	3,0	20	2,0	316		1,5
9	59,2	54,6	4,6	36	1,1	176		4,3

Примечание. *Определена по зависимости $Z_i = \frac{L_i}{t} \ln \frac{L_{0i}}{L_i}$.

Таблица 2

$n, \text{мин}^{-1}$	$V, \text{м/мин}$	A	m
300	12	- 1,28	0,17
	20	- 0,74	0,49
	36	- 1,40	0,28
350	12	- 1,30	0,28
	20	- 1,10	0,38
	36	- 2,00	0,32
400	12	- 1,42	0,44
	20	- 1,57	0,31
	36	- 2,00	0,34

На основании табл. 2 зависимость длины волокна в трепальной машине агрегата АЛС-1 (зона 1+зона 2), например, при ре-

жиме $n=300 \text{ мин}^{-1}$ и $V=20 \text{ м/мин}$ примет вид:

$$L = L_{0i} - 0,74(Z_i)^{0,49} t_i. \quad (3)$$

Для проверки применения модели (2) проведен контрольный эксперимент, в котором из тресты нормальной вылежки на агрегате АЛС-1 также получено длинное волокно. Значения горстевой длины и параметров трепания в эксперименте представлены в табл. 3 и 4.

Таблица 3

№ п/п	Экспери- ментальные значения		$\Delta L=L_{0i}-L_i, \text{см}$	Параметры процесса трепания					Результаты расчета	
	$L_{0i}, \text{см}$	$L_i, \text{см}$		$V, \text{м/мин}$	$t_0, \text{с}$	$t_i, \text{с}$	K_i	$n, \text{мин}^{-1}$	$Z_i^*, \text{см/с}$	среднее $Z_i, \text{см/с}$
61	56,0	5,0	12	3,3	1,65	99	300	3,2	1,1	2,2
	57,5	3,5			3,3	198				
	57,8	3,2	20	2,0	1,0	59,5		3,3	2,3	2,8
	56,6	4,4			2,0	119				
	58,2	2,8	36	1,1	0,55	33		5,2	1,2	3,2
	59,7	1,3			1,1	66				
	58,5	2,5	12	3,3	1,65	115,5	350	1,6	0,7	1,1
	58,8	2,2			3,3	231				
	59,8	1,2	20	2,0	1,0	69		1,2	2,0	1,6
	57,2	3,8			2,0	138				
	56,5	4,5	36	1,1	0,55	38,5		8,5	1,6	5,0
	59,3	1,7			1,1	77				
	57,0	4,0	12	3,3	1,65	132	400	2,0	1,6	2,0
	56,0	5,3			3,3	264				
	59,0	2,0	20	2,0	1,0	79		2,0	1,4	1,7
	58,3	2,7			2,0	158				
	59,3	1,7	36	1,1	0,55	44		3,1	1,8	2,5
	59,1	1,9			1,1	88				

Примечание. *Определена по зависимости $Z_i = \frac{L_i}{t} \ln \frac{L_{0i}}{L_i}$.

Интенсивности изменения длины Z_i в зонах 1 и 2 (табл.3 и 4) суммировались и подставлялись в зависимость (2), тем самым получали расчетные значения длины, которые сравнивались с экспериментальными значениями.

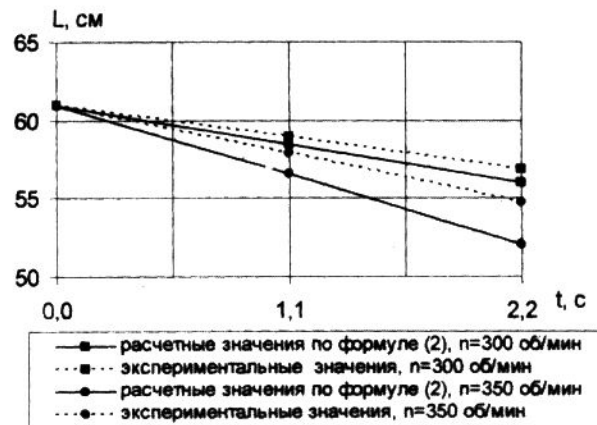


Рис. 2

Результаты проверки достоверности модели представлены на рис. 2, где показаны графические зависимости расчетных и экспериментальных значений длины от времени обработки последовательно в двух зонах трепания. Очевидно, что мо-

дель (2) с коэффициентами (табл.2) можно применять для прогнозирования длины волокна, так как расчетные и экспериментальные значения хорошо согласуются между собой.

Таблица 4

№ п/п	Эксперимен- тальные значения		Изменение $\Delta L = L_{0i} - L_i$, см	Параметры процесса трепания					Результаты расчета	
	L_{0i} , см	L_i , см		V, м/мин	t_0 , с	t_i , с	K_i	n , мин ⁻¹	Z_i , см/с	среднее Z_i , см/с
1	56,0	52,0	4,0	12	3,3	1,65	198	300	2,5	2,0
	57,5	53,0	4,5			3,3	396		1,4	
2	57,8	54,9	2,9	20	2,0	1,0	119	350	3,0	2,3
	56,6	53,4	3,2			2,0	238		1,6	
3	58,2	56,9	1,3	36	1,1	0,55	66	400	2,4	2,6
	59,7	56,6	3,1			1,1	132		2,9	
4	58,5	56,5	2,0	12	3,3	1,65	231	350	1,2	0,8
	58,8	57,7	1,1			3,3	462		0,3	
5	59,8	58,3	1,5	20	2,0	1,0	138	400	1,5	1,6
	57,2	53,9	3,3			2,0	276		1,7	
6	56,5	53,9	2,6	36	1,1	0,55	77	350	4,8	4,2
	59,3	55,5	3,8			1,1	154		3,6	
7	57,0	54,0	3,0	12	3,3	1,65	264	400	1,9	1,8
	56,0	51,1	4,9			3,3	328		1,6	
8	59,0	57,1	1,9	20	2,0	1,0	158	350	1,9	1,6
	58,3	55,7	2,6			2,0	316		1,3	
9	59,3	56,1	3,2	36	1,1	0,55	88	400	6,0	5,3
	59,1	54,4	4,7			1,1	176		4,5	

ВЫВОДЫ

1. Предложены теоретико-экспериментальные модели процесса трепания длинного волокна, связывающие горстевую длину трепаного льна, интенсивность ее изменения и длину исходного сырья.

2. По экспериментальным данным для агрегата АЛС-1 определены эмпирические коэффициенты для полученной модели. Модели могут быть использованы и для других трепальных машин. В каждом конкретном случае коэффициенты определяются экспериментально.

1. Корабельников Р.В., Корабельников А.Р. Теория и практика совершенствования очистителей волокна. Монография. – Кострома: КГТУ, 2001.

2. Корабельников Р.В., Новиков Э.В., Корабельников А.Р. // Изв. вузов. Технология текстильной промышленности. – 2004, №2. С.13...16.

3. Новиков Э.В., Корабельников Р.В. Разработка теоретико-экспериментальной модели процесса очистки волокна при трепании // Сб. научн. тр. молодых ученых КГТУ. – Кострома, 2004. Вып. №5.

Рекомендована кафедрой технологии производства льняного волокна. Поступила 22.12.04.

ЛИТЕРАТУРА